

九州大学 工学部 正員 松下 博通

## 1. まえがき

海洋コンクリート構造物、河川コンクリート構造物では、コンクリートが水面下あるいは水面上にあつても絶えず湿潤状態にあることが多い。コンクリートの強度は、乾燥状態で試験に供する場合と、湿潤状態で試験に供する場合には、大きく差があるらしい。これはコンクリートの組成的特徴とし、内部の多量に含む空隙に水が満たされているからである。その力学的性質を変化させているからと説明されている。そこで、繰返し応力を受けたコンクリートの疲労强度についても、コンクリートの乾湿の影響を受けたと考えられるため、水中における圧縮疲労試験を実施し、この結果を空中での疲労試験結果と比較してみた。

## 2. 試験概要

Φ7.5×15cm円柱状試体を長期荷重で試験に供するものとし、試験開始10日前から供試体に十分貯水させたままで浸した。疲労試験の繰返し応力の大きさは、疲労試験に先づて実施した水中における静的圧縮強度に対する比率で示すと、最小応力が10, 30, 50%の3種類あり、最大応力は55~85%である。繰返し応力は正弦変位応力で、300回/分の速度で、供試体が疲労破壊するか、繰返し回数が $2 \times 10^6$ 回に達するまで繰り返し繰返し、供試体が疲労破壊するときの疲労寿命を測定した。

## 3. 試験結果と考察

図1に最大応力が10%の時の疲労寿命の測定結果を対数正規分布にあわせめたため、正規確率紙上にプロットしてある。コンクリートの疲労寿命分布を対数正規分布とみなすことができるよう。この傾向は他の応力でも同様である。そこで回帰直線式および $\log N$ に対するべき乗式 $D(\log N)$ を算定して表1に示した。この結果より、 $S-N$ 曲線を描くと図2の通りであり、水中での疲労强度が空中での疲労强度よりも小さくなることが伺える。疲労寿命が一定のとき、疲労强度に及ぼす最小応力比の影響を調べるために、耐久線図、空中疲労および水中疲労の比較についてまとめたものが図3である。この結果、いすゞも修正Goodmanの関係が成立するといえよう。

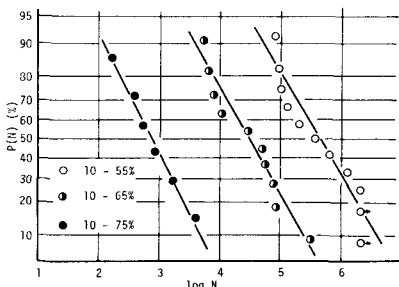


図1. 疲労寿命測定結果の対数正規分布へのあわせ

表1. 寿命分布の回帰式、 $\log N$ 、 $D(\log N)$

$S_2(\%)$	$S_1(\%)$	回帰直線式	$\log N$	$D(\log N)$
10	55	$t = -1.38 \log N + 7.78$	5.63	0.72
10	65	$t = -1.45 \log N + 6.48$	4.47	0.69
10	75	$t = -1.62 \log N + 4.66$	2.88	0.62
30	70	$t = -1.08 \log N + 6.10$	5.62	0.92
30	75	$t = -1.60 \log N + 6.74$	4.20	0.62
30	80	$t = -1.70 \log N + 5.91$	3.48	0.59
50	75	$t = -1.33 \log N + 7.62$	5.75	0.75
50	80	$t = -1.95 \log N + 9.83$	5.03	0.51
50	85	$t = -2.14 \log N + 7.08$	3.30	0.47

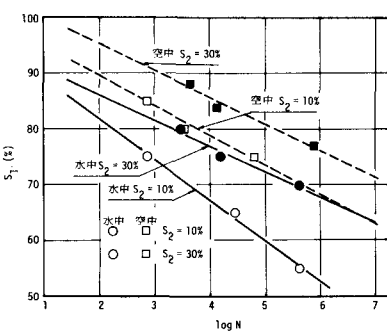
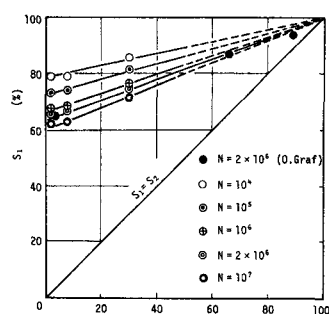


図2 試験結果から得られた  
S-N曲線の比較



(a) 空中疲労試験の場合

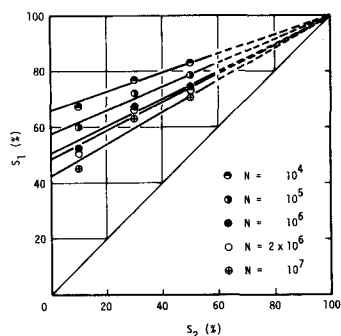


図3 耐久線図

よって、平均疲労寿命  $\log N$  は  $\log N = K \frac{100-S_1}{100-S_2}$  なる関係式で表される。図4は、空中疲労および水中疲労で上式の関係を求めるべく、 $(100-S_1)/(100-S_2)$  と  $\log N$  の関係を示したものである。この結果、空中疲労同様、水中疲労でも上式によつて  $\log N$  を算定することができる。この関係式は空中水中についと

$$\log N = 17.5 \frac{100-S_1}{100-S_2} \quad (\text{空中}) \quad \log N = 11.7 \frac{100-S_1}{100-S_2}$$

である。これより  $N=10^7$  回片振り疲労強度は空中で 60%，水中で 40% となる。また  $N=2 \times 10^6$  回片振り疲労強度は 64% と 46% と、水中疲労強度は著しく小さい。これらの結果は、いずれも空中では空中静的強度を、水中では水中静的強度を基準としており、静的強度のものも、水中のはうが空中より小さいことを注意しなければならない。

次にばらつきの大きさ  $D(\log N)$  は、最大応力比と最小応力比によって変化し、前者が大きいと小さくなり、後者が大きいと大きくなるという応力依存性が認められる。今、静的強度にはうつすべきと  $D(\log N)$  とすれば、 $D(\log N)$  は

$$D(\log N) = AS_1 + BS_2 + C \quad (A, B, C: \text{定数})$$

回帰分析で想される。  $D(\log N)$  は、静的強度の変動によつて  $\Delta D$  が、 $=V$  と  $\Delta D(\log N)$  とすれば  $\Delta D = \frac{\partial D}{\partial S_1} + \delta_S$  ( $\delta_S$ : 静的強度より  $\Delta D(\log N) = -(AS_1 + BS_2) \frac{V}{100}$ )

( $V$ : 静的強度の変動係数 %) となる。よつて  $D(\log N) = D_0 + \Delta D$  となり  $D(\log N) = (AS_1 + BS_2)(1 - \frac{V}{100}) + C$

となる。空中疲労、水中疲労についと上式の表示式の有意味を分散分析で検査し、いずれも有意である。この結果、 $D(\log N)$  の回帰式

$$D(\log N) = (-0.0210S_1 + 0.0119S_2)(1 - \frac{V}{100}) + 2.30 \quad (\text{空中疲労})$$

$$D(\log N) = (-0.0207S_1 + 0.0030S_2)(1 - \frac{V}{100}) + 2.02 \quad (\text{水中疲労})$$

となり、水中疲労のはうべ壽命のばらつきが小さいことがわかる。以上の結果より、片振り繰り返した下に  $S-N-P(N)$  曲線を図5に示した。また、 $P(N)=50\%$  および  $90\%$  の二つの耐久限界を描いて図6に示す。水中疲労強度が著しく小さいことが示されている。

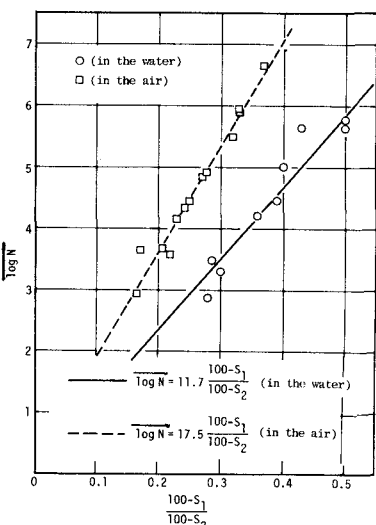
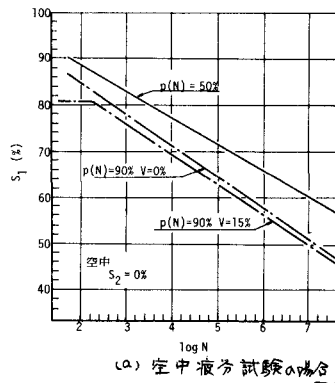


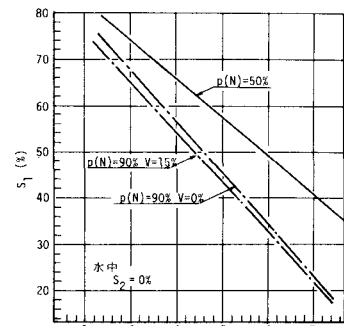
図4. 繰返し応力比と平均疲労寿命の関係

表2.  $D(\log N)-S$  の関係についての分散分析表

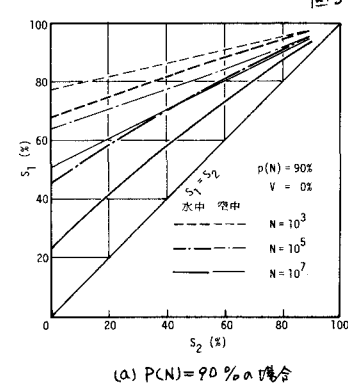
要 因	平方和	自由度	不偏分散	分 故 比
回帰による	0.04014	2	0.02007	$F_0 = 0.02007 / 5.0175$
回帰からの	0.01600	4	0.00400	$F_{90}(2,4) = 4.324$
合 计	0.05614	6		
回帰による	0.1668	2	0.0834	$F_0 = 0.0834 / 8.563$
回帰からの	0.0682	7	0.00974	$F_{95}(2,7) = 4.74$
合 计	0.2350	9		



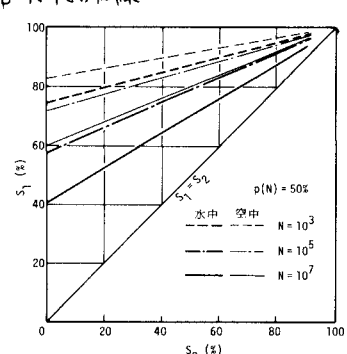
(a) 空中疲労試験の場合



(b) 水中疲労試験の場合



(a)  $P(N)=90\%$  の場合



(b)  $P(N)=50\%$  の場合